

МАГНИТООПТИЧЕСКИЙ ПАРАМЕТР Q ДЛЯ СТРУКТУР С ОДНООСНОЙ ОПТИЧЕСКОЙ АНИЗОТРОПИЕЙ

O. A. Максимова^{a,b}, C. A. Лященко^a, C. Н. Варнаков^a, C. Г. Овчинников^{a,b}*

^a Институт физики им. Л. В. Киренского Сибирского отделения Российской академии наук — обособленное подразделение Федерального исследовательского центра «Красноярский научный центр Сибирского отделения РАН» 660036, Красноярск, Россия

^b Сибирский федеральный университет 660041, Красноярск, Россия

Поступила в редакцию 29 июня 2021 г.,
после переработки 29 июня 2021 г.

Принята к публикации 1 июля 2021 г.

Работа посвящена развитию метода магнитооптической эллипсометрии на отражение. Решена обратная задача для структур с оптической одноосной анизотропией: найдены коэффициенты отражения для границы раздела внешняя среда—образец, получено аналитическое выражение для магнитооптического параметра, пропорционального намагниченности, позволяющее определить его исключительно по экспериментальным данным, измеряемым с помощью магнитооптической эллипсометрии. Представлен подробный алгоритм для проведения эксперимента по нахождению тензора диэлектрической проницаемости при экваториальной геометрии.

DOI: 10.31857/S0044451021110079

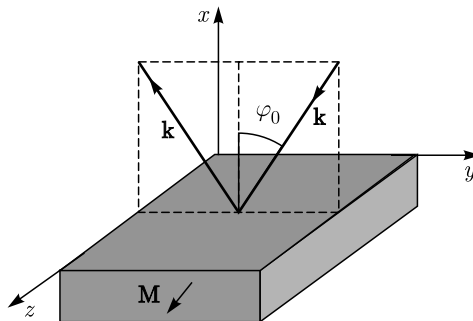
1. ВВЕДЕНИЕ. ПОСТАНОВКА ЗАДАЧИ

Магнитооптическая эллипсометрия (МЭ) одновременно обладает высокой чувствительностью к магнитному состоянию и оптическим свойствам отражающей поверхности. Этот метод широко используется и является очень удобным для контроля оптических, структурных, магнитных, магнитооптических (МО) свойств наноструктурированных материалов. По причине громоздкости математического аппарата МЭ, большинство измерений проводятся с целью простого анализа магнитных характеристик по полевым зависимостям эллипсометрических углов, либо рассмотрением простых изотропных и однородных сред. Однако многие материалы, особенно в пленочном и диспергированном состояниях, обладают зависимостью структуры от направления и, как следствие, имеют одноосную оптическую анизотропию. У таких материалов отличаются оптические свойства в плоскости пленки и перпендикулярно к ней [1, 2]. Примерами этих структур являются

ся фотонные кристаллы [3], полимерные пленки [4], ориентированные массивы углеродных нанотрубок [5, 6]. В последние годы также активно исследуются оптические свойства анизотропных двумерных систем MXenes [7, 8] и MAX-фаз [9–11] (*ab initio*-расчеты). Если рассматривать магнитооптические свойства такой структуры, то кроме уже имеющейся оптической анизотропии необходимо учитывать и вынужденную анизотропию [12], обусловленную приложением внешнего магнитного поля, что неизбежно усложняет расчет и анализ полного тензора диэлектрической проницаемости. Поэтому в литературе такому подходу пока уделяется мало внимания. Преимущественно это работы [13–15], основанные на формализме матриц 4×4 [16], который хорошо проработан для МЭ, но не всегда применим, так как для определения всех матричных элементов необходимо проводить измерения в разных геометриях, следовательно, вращать образец.

Мы разработали оригинальный метод определения всех компонент тензора диэлектрической проницаемости тонких магнитных слоев по данным МЭ-характеризации оптически изотропных объемных сред и многослойных структур [17–21], который заключается в сочетании классических эллипсомет-

* E-mail: maximo.a@mail.ru



Геометрия экваториального магнитооптического эффекта Керра

рических измерений эллипсометрических углов ψ_0 , Δ_0 без приложения внешнего магнитного поля и проведении эллипсометрических измерений при перемагничивании образца во внешнем магнитном поле (измерение $\delta\psi$, $\delta\Delta$) в экваториальной конфигурации. Эти измерения можно проводить при различных углах падения света и при разных длинах волн падающего излучения. Решение обратной задачи заключается в нахождении физических величин, таких как компоненты тензора диэлектрической проницаемости, по набору данных ψ_0 , Δ_0 , $\delta\psi$, $\delta\Delta$ посредством рассмотрения системы основных уравнений эллипсометрии:

$$\begin{aligned} \operatorname{tg}(\psi_0) \exp(i\Delta_0) &= \frac{R_{p0}}{R_{s0}}, \\ \operatorname{tg}(\psi_0 + \delta\psi) \exp(i(\Delta_0 + \delta\Delta)) &= \frac{R_{p0} + R_{p1}}{R_{s0} + R_{s1}}, \end{aligned} \quad (1)$$

где нижний индекс «0» — это индекс для измерений, проводимых без приложения внешнего магнитного поля, «1» — для измерений при приложении внешнего магнитного поля. Здесь индексы «s», «p» соответствуют s- и p-поляризации света.

В настоящей работе мы предлагаем расширить этот подход на магнитные оптически анизотропные материалы, а именно, для начала решить обратную задачу МЭ для полубесконечных структур с оптической одноосной анизотропией. Примерами подобных материалов являются толстые атомно-слоистые MAX-пленки [22], столбчатые ферромагнитные пленки [23–25] и различные низкосимметричные магнитооптически-активные объемные кристаллы [26–28]. Новый подход позволяет получать информацию о МО-свойствах образца из МЭ-измерений без вращения образца и электромагнита, создающего внешнее магнитное поле.

Рассмотрим геометрию МЭ-измерений на отражение, соответствующую экваториальному магни-

тооптическому эффекту Керра (рисунок). При экваториальной конфигурации МО-эффекта Керра намагниченность лежит в плоскости образца. Выберем направление оси z традиционно [12, 17–22, 29, 30] параллельно направлению намагниченности. Таким образом, плоскость yz — граничная плоскость поверхности отражения, xy — плоскость падения света на образец.

В общем случае оптически анизотропных сред тензор диэлектрической проницаемости представляют [13, 14] следующим образом:

$$\varepsilon^{MO} = \begin{bmatrix} \varepsilon_x & -iQ_z M_z & -iQ_y M_y \\ iQ_z M_z & \varepsilon_y & -iQ_x M_x \\ iQ_y M_y & iQ_x M_x & \varepsilon_z \end{bmatrix}, \quad (2)$$

где $Q = (Q_x, Q_y, Q_z)$ — магнитооптический параметр, не зависящий от намагниченности, а $M = (M_x, M_y, M_z)$ — намагниченность.

С другой стороны, есть традиция не выделять в компонентах тензора диэлектрической проницаемости отдельно намагниченность, а вместо этого считать Q пропорциональным намагниченности магнитооптическим параметром, именуемым также вектором Фохта [12, 29–34]. В этом случае для изотропных сред, когда все диагональные компоненты тензора равны и имеют некое значение ε_0 , недиагональные компоненты тензора диэлектрической проницаемости представляют собой произведение диагональной компоненты на компоненту вектора Фохта:

$$\varepsilon_{ij} = -i\varepsilon_0 Q_k, \quad (3)$$

где i, j, k принимают значение x, y, z . Из геометрии решаемой нами МЭ-задачи следует, что для оптической одноосной анизотропной полубесконечной ферромагнитной структуры коэффициенты преломления в плоскости yz одинаковы:

$$N_x \neq N_y = N_z, \quad (4)$$

что означает, что диагональные компоненты тензора диэлектрической проницаемости в плоскости образца также одинаковы:

$$\varepsilon_{xx} \neq \varepsilon_{yy} = \varepsilon_{zz}. \quad (5)$$

Таким образом, принимая во внимание работы [12, 14], для случая одноосной анизотропии тензор диэлектрической проницаемости можно представить в виде

$$\varepsilon = \begin{bmatrix} \varepsilon_{xx} & -i\varepsilon_{zz} Q & 0 \\ i\varepsilon_{zz} Q & \varepsilon_{zz} & 0 \\ 0 & 0 & \varepsilon_{zz} \end{bmatrix}, \quad (6)$$

где $Q = Q_1 - iQ_2$ — комплексный магнитооптический параметр, пропорциональный намагниченности, лежащей в плоскости пленки, $\varepsilon_{xx} = \varepsilon'_{xx} - i\varepsilon''_{xx}$, $\varepsilon_{zz} = \varepsilon'_{zz} - i\varepsilon''_{zz}$ (вещественные части обозначены одним штрихом, мнимые части — двумя). Квадратичные по намагниченности эффекты в данном случае не учитываются.

Для изотропных структур коэффициенты отражения, учитывающие магнитооптический отклик, хорошо известны [12, 29]:

$$R_s = \frac{N_0 \cos(\varphi_0) - N_1 \cos(\varphi_1)}{N_0 \cos(\varphi_0) + N_1 \cos(\varphi_1)}, \quad (7)$$

$$R_p = \frac{N_1 \cos(\varphi_0) - N_0 \cos(\varphi_1)}{N_1 \cos(\varphi_0) + N_0 \cos(\varphi_1)} - iQ \frac{N_0^2 \sin(2\varphi_0)}{(N_1 \cos(\varphi_0) + N_0 \cos(\varphi_1))^2}, \quad (8)$$

где N_0 — комплексный показатель преломления внешней среды, N_1 — комплексный показатель преломления ферромагнитного материала, φ_0 — угол падения света на образец. Эти выражения используются в основанном на матрицах Джонса методе определения компонент тензора диэлектрической проницаемости изотропных образцов, разработанном в работах [17–20].

Работать с анизотропными средами, продолжая использовать матрицы Джонса и коэффициенты Френеля, можно, когда выполняется условие равенства нулю недиагональных элементов матрицы Джонса коэффициентов отражения [35, 36]

$$r_{ps} = r_{sp} = 0. \quad (9)$$

В нашей геометрии выражение (9) справедливо, поскольку в случае одноосной оптической анизотропии объемного образца для его выполнения достаточно того, что оптическая ось параллельна или перпендикулярна плоскости падения света [35, 36].

Для анизотропных систем с выбранной нами геометрией (рисунок) получение коэффициентов отражения описано в работе [36]. Их можно представить в виде

$$r_{ss} = \frac{N_0 \cos(\varphi_0) - N_z \cos(\varphi_{ts})}{N_0 \cos(\varphi_0) + N_z \cos(\varphi_{ts})}, \quad (10)$$

$$r_{pp} = \frac{N_y \cos(\varphi_0) - N_0 \cos(\varphi_{tp})}{N_y \cos(\varphi_0) + N_0 \cos(\varphi_{tp})}, \quad (11)$$

где углы φ_{ts} и φ_{tp} — углы преломления, определяющиеся выражениями

$$\cos(\varphi_{ts}) = \frac{\sqrt{N_z^2 - N_0^2 \sin^2(\varphi_0)}}{N_z}, \quad (12)$$

$$\cos(\varphi_{tp}) = \frac{\sqrt{N_x^2 - N_0^2 \sin^2(\varphi_0)}}{N_x}. \quad (13)$$

В работе [36] сразу учтен знак минус в соотношении $N = n - ik$, что традиционно для представления коэффициента преломления в эллипсометрии и МЭ. В изотропном пределе $N_x = N_y = N_1$ из уравнений (10), (11) следуют стандартные коэффициенты Френеля [35].

Однако коэффициенты отражения (10), (11) в [36] не учитывают влияния внешнего магнитного поля, и их недостаточно для анализа магнитооптических свойств образца. Выражения, учитывающие магнитооптический отклик, нам и необходимо добавить к уже известным в литературе формулам для коэффициентов отражения анизотропных сред, связать с измеряемыми методом магнитооптической эллипсометрии параметрами и определить выражения для получения информации о магнитооптическом параметре $Q = Q_1 - iQ_2$ и о полном тензоре диэлектрической проницаемости (6).

2. РАСЧЕТ КОЭФФИЦИЕНТОВ ОТРАЖЕНИЯ ДЛЯ ГРАНИЦЫ РАЗДЕЛА ВНЕШНЯЯ СРЕДА — ОПТИЧЕСКИЙ АНИЗОТРОПНЫЙ ОДНООСНЫЙ ОБЪЕМНЫЙ ОБРАЗЕЦ С УЧЕТОМ МАГНИТООПТИЧЕСКОГО ОТКЛИКА

Для того чтобы учесть магнитооптический отклик в выражениях (10), (11), обратимся к тому, как он учитывался в работах Соколова и Кринчика [12, 29], где рассматривался случай границы раздела двух изотропных сред. Для учета экваториального МО-эффекта Керра (TMOKE) при рассмотрении отражения на границе внешней среды с оптически анизотропным объемным образцом необходимо пройти те же шаги, что и при его учете на границе с изотропным образцом. Все выкладки ниже справедливы для видимого спектрального диапазона и проведены в предположении, что $\mu \approx \mu_0 \approx 1$, а магнитооптический параметр $Q \ll 1$ [12, 30, 32, 37].

Используем тензор (6) и решаем уравнения Максвелла со следующей связью между напряженностью и индукцией:

$$\begin{aligned} D_x &= \varepsilon_{xx} E_x - i\varepsilon_{zz} Q E_y, \\ D_y &= i\varepsilon_{zz} Q E_x + \varepsilon_{zz} E_y, \\ D_z &= \varepsilon_{zz} E_z. \end{aligned} \quad (14)$$

Решение ищем в виде плоской неоднородной волны, распространяющейся в магнитной среде:

$$E = E_0 \exp \left(i\omega \left(t - \frac{\alpha^* x + \beta^* y + \gamma^* z}{v^*} \right) \right), \quad (15)$$

где α^* , β^* , γ^* — направляющие косинусы, v^* — скорость распространения волны в среде. Тогда получим систему уравнений

$$\begin{aligned} \varepsilon_{xx} E_x - i\varepsilon_{zz} Q E_y &= \\ &= N_x^2 [E_x - \alpha^*(\alpha^* E_x + \beta^* E_y + \gamma^* E_z)], \\ i\varepsilon_{zz} Q E_x + \varepsilon_{zz} E_y &= \\ &= N_y^2 [E_y - \beta^*(\alpha^* E_x + \beta^* E_y + \gamma^* E_z)], \\ \varepsilon_{zz} E_z &= \\ &= N_z^2 [E_z - \gamma^*(\alpha^* E_x + \beta^* E_y + \gamma^* E_z)]. \end{aligned} \quad (16)$$

В результате ряда преобразований (см. Приложение А) с учетом (4), (5) получим

$$\begin{aligned} (\varepsilon_{xx} \varepsilon_{zz} \cos(\varphi_{tp}) + i\varepsilon_{xx} \varepsilon_{zz} Q \sin(\varphi_{tp})) E_x + \\ + (\varepsilon_{xx} \varepsilon_{zz} \sin(\varphi_{tp}) - i\varepsilon_{zz}^2 Q \cos(\varphi_{tp})) E_y = 0. \end{aligned} \quad (17)$$

С учетом введенной нами системы координат граничные условия для s -поляризации:

$$E_{0is} + E_{0rs} = E_{d3} = E_{ts}, \quad (18)$$

$$N_0 \cos(\varphi_0) (E_{0is} - E_{0rs}) = N_z \cos(\varphi_{ts}) E_{ts}, \quad (19)$$

для p -поляризации:

$$\cos(\varphi_0) (E_{0ip} - E_{0rp}) = E_{d2}, \quad (20)$$

$$\begin{aligned} N_0 (E_{0ip} + E_{0rp}) &= \\ &= N_y (\cos(\varphi_{tp}) E_{d2} - \sin(\varphi_{tp}) E_{d1}), \end{aligned} \quad (21)$$

где нижний индекс i при E соответствует падающей волне, r — отраженной, d — прошедшей в среду, E_{d1} , E_{d2} , E_{d3} — это соответственно x -, y -, z -компоненты амплитуды напряженности электрического поля прошедшей волны [12, 29].

Полученный коэффициент отражения $r_{ss \text{ TMOKE}}$ полностью совпадает с коэффициентом

$$r_{pp \text{ TMOKE}} = \frac{N_z \cos(\varphi_0) - N_0 \cos(\varphi_{tp})}{N_z \cos(\varphi_0) + N_0 \cos(\varphi_{tp})} - iQ \frac{2N_0 N_z \sin(\varphi_{tp}) \cos(\varphi_0) (1 - (1 - N_z^2/N_x^2) \cos^2(\varphi_{tp}))}{(N_z \cos(\varphi_0) + N_0 \cos(\varphi_{tp}))^2}. \quad (26)$$

Из (26) можно получить выражение для коэффициента отражения для границы раздела с изотропным кристаллом при учете того, что $N_x = N_z = N_1$ и $\varphi_{tp} = \varphi_1$:

отражения для анизотропных сред в отсутствие внешнего магнитного поля (10):

$$r_{s \text{ TMOKE}} = \frac{N_0 \cos(\varphi_0) - N_z \cos(\varphi_{ts})}{N_0 \cos(\varphi_0) + N_z \cos(\varphi_{ts})}, \quad (22)$$

соответственно, для s -поляризации влияние магнитного поля на коэффициент отражения при реализации экваториальной конфигурации МО-эффекта Керра отсутствует не только для изотропных систем, но и анизотропных тоже:

$$R_{s1} = 0. \quad (23)$$

Коэффициент отражения для p -поляризации при ТМОКЕ получаем из (20), (21), к которым добавлено выражение для условия связи между E_{d1} и E_{d2} (см. Приложение А):

$$r_{pp \text{ TMOKE}} = \frac{E_{0rp}}{E_{0ip}} = \frac{\cos(\varphi_0) - FN_0}{\cos(\varphi_0) + FN_0}, \quad (24)$$

где

$$F = \frac{\cos(\varphi_{tp}) + iQ \sin(\varphi_{tp})}{N_z (1 + i(1 - \varepsilon_{zz}/\varepsilon_{xx}) Q \sin(\varphi_{tp}) \cos(\varphi_{tp}))}. \quad (25)$$

Поскольку во время эксперимента для учета МО-вклада измеряются изменения эллипсометрических параметров, т. е. наблюдается изменение коэффициента отражения по сравнению с выражением (11), характеризующим поведение света в ситуации без приложения внешнего магнитного поля, то хотелось бы увидеть в явном виде изменение коэффициента отражения R_{p1} . Поэтому представим выражение (24) для $r_{pp \text{ TMOKE}}$ в виде суммы r_{pp} без учета внешнего магнитного поля, т. е. выражения (11), и слагаемого, отвечающего за вклад экваториального МО-эффекта Керра (см. Приложение А). Таким образом, получаем коэффициент отражения для p -поляризации с учетом МО-отклика в геометрии экваториального МО-эффекта Керра:

$$\begin{aligned} r_p &= \frac{N_1 \cos(\varphi_0) - N_0 \cos(\varphi_1)}{N_1 \cos(\varphi_0) + N_0 \cos(\varphi_1)} - \\ &- iQ \frac{2N_0 N_1 \sin(\varphi_1) \cos(\varphi_0)}{(N_1 \cos(\varphi_0) + N_0 \cos(\varphi_1))^2}. \end{aligned} \quad (27)$$

Воспользуемся законом Снелла

$$N_1 \sin(\varphi_1) = N_0 \sin(\varphi_0) \quad (28)$$

и тогда получаем известное выражение (8) для коэффициента отражения для p -поляризации на границе раздела двух изотропных сред [12, 38].

3. АНАЛИТИЧЕСКИЙ РАСЧЕТ МАГНИТООПТИЧЕСКОГО ПАРАМЕТРА Q

Как было показано нами в предыдущих работах по изучению МО-свойств изотропных структур [20, 39], в случае, когда вклад от магнитного поля в коэффициенты отражения мал, можно использовать в расчетах малые параметры как отношения магнитной к немагнитной частей коэффициента отражения для p -поляризации:

$$\alpha = R'_{p1}/R'_{p0}, \quad (29)$$

$$\beta = R''_{p1}/R''_{p0}, \quad (30)$$

где индекс «0» соответствует измерениям, проводимым в отсутствие внешнего магнитного поля, «1» —

при наличии внешнего магнитного поля (ТМОКЕ). Эти малые параметры связаны с измеряемыми эллипсометрическими (ψ_0, Δ_0) и магнитоэллипсометрическими ($\delta\psi, \delta\Delta$) параметрами следующим образом [20]:

$$\alpha \approx \frac{\delta\psi(1 + \operatorname{tg}^2(\psi_0))}{\operatorname{tg}(\psi_0)} + \frac{R''_{p0}}{R'_{p0}}\delta\Delta, \quad (31)$$

$$\beta \approx \frac{\delta\psi(1 + \operatorname{tg}^2(\psi_0))}{\operatorname{tg}(\psi_0)} - \frac{R'_{p0}}{R''_{p0}}\delta\Delta, \quad (32)$$

т. е. коэффициент отражения для p -поляризации можно записать следующим образом:

$$R_p = R_{p0} + R_{p1} = R'_{p0} - iR''_{p0} + R'_{p1} - iR''_{p1}, \quad (33)$$

$$R_{p0} = R'_{p0} - iR''_{p0}, \quad (34)$$

$$R_{p1} = R'_{p1} - iR''_{p1} = \alpha R'_{p0} - i\beta R''_{p0}. \quad (35)$$

Сопоставим выражения (34), (35) с полученным выше выражением (26)

$$R'_{p0} - iR''_{p0} = \frac{N_z \cos(\varphi_0) - N_0 \cos(\varphi_{tp})}{N_z \cos(\varphi_0) + N_0 \cos(\varphi_{tp})}, \quad (36)$$

$$\alpha R'_{p0} - i\beta R''_{p0} = -iQ \frac{2N_0 N_z \sin(\varphi_{tp}) \cos(\varphi_0) (1 - (1 - N_z^2/N_x^2) \cos^2(\varphi_{tp}))}{(N_z \cos(\varphi_0) + N_0 \cos(\varphi_{tp}))^2}. \quad (37)$$

Учтем (31), (32) и выразим отсюда Q (см. Приложение B):

$$Q = \frac{N_0^2 \cos^2(\varphi_{tp}) - N_z^2 \cos^2(\varphi_0)}{2N_0 N_z \sin(\varphi_{tp}) \cos(\varphi_0) (1 - (1 - N_z^2/N_x^2) \cos^2(\varphi_{tp}))} \left(\delta\Delta - i \frac{\delta\psi(1 + \operatorname{tg}^2(\psi_0))}{\operatorname{tg}(\psi_0)} \right). \quad (38)$$

Таким образом, для одноосного анизотропного объемного кристалла можно аналитически рассчитать магнитооптический параметр по результатам МЭ-измерений, проведенных в экваториальной конфигурации МО-эффекта Керра.

Если в (37) положить, что $N_x = N_z = N_1$ и $\varphi_{tp} = \varphi_1$, полученное выражение (37) переходит в выражение

$$Q = \frac{N_0^2 \cos^2(\varphi_1) - N_1^2 \cos^2(\varphi_0)}{2N_0 N_1 \sin(\varphi_1) \cos(\varphi_0)} \times \\ \times \left(\delta\Delta - i \frac{\delta\psi(1 + \operatorname{tg}^2(\psi_0))}{\operatorname{tg}(\psi_0)} \right). \quad (39)$$

Воспользуемся законом Снелла (28) и получим выражение, полностью совпадающее со значением МО-параметра для изотропного кристалла [20]:

$$Q = \frac{N_0^2 \cos^2(\varphi_1) - N_1^2 \cos^2(\varphi_0)}{N_0^2 \sin(2\varphi_0)} \times \\ \times \left(\delta\Delta - i \frac{\delta\psi(1 + \operatorname{tg}^2(\psi_0))}{\operatorname{tg}(\psi_0)} \right). \quad (40)$$

4. ОБСУЖДЕНИЕ РЕЗУЛЬТАТОВ

Как следует из полученного выражения (37), для расчета всех компонент тензора диэлектрической проницаемости (6) достаточно иметь информацию об

- угле падения света φ_0 ,
- коэффициенте преломления внешней среды N_0 ,
- коэффициентах преломления анизотропной структуры в плоскости образца $N_y = N_z$ и перпендикулярно ей N_x ,

- эллипсометрическом параметре ψ_0 , измеряемом без приложения магнитного поля,
- магнитоэллипсометрических параметрах

$$\delta\psi = \psi(+H) - \psi(-H), \quad \delta\Delta = \Delta(+H) - \Delta(-H),$$

измеряемых в экваториальной конфигурации магнитооптического эффекта Керра, где $\pm H$ — внешнее магнитное поле на образце.

Экспериментальные подходы и математические инструменты для измерения коэффициентов преломления анизотропной пленки произвольной толщины (в том числе непрозрачной) методом эллипсометрии уже давно разработаны и не требуют дополнительных пояснений [40–42]. Реализация конкретного подхода может зависеть от условий эксперимента и имеющейся приборной базы экспериментатора.

Следует учитывать, что предлагаемый нами метод расчета Q ограничен не только особенностями модели однородной полубесконечной среды и геометрией экваториального МО-эффекта Керра, но также и условием малости МО-вклада в коэффициент отражения R_p для условия малости параметров α, β [20]. Последнее условие может быть нарушено при близости к углу Брюстера, особенно для слабопоглощающих образцов. Поэтому, на наш взгляд, наиболее надежен подход, представляющий многоугловые эллипсометрические измерения, из-за простоты оптической схемы и возможности избежать угол Брюстера. Образец обязан иметь гладкую отражающую поверхность, непрозрачную в используемом спектральном диапазоне, и насколько возможно тонкий неферромагнитный оксидный слой на поверхности. В этом случае можно представить алгоритм проведения магнитоэллипсометрического эксперимента в следующем виде.

1) Измеряем спектральные зависимости ψ_0, Δ_0 без магнитного поля для произвольного угла φ_0 . Вычисляем спектральную зависимость вещественной компоненты угла Брюстера для образца в приближении изотропной полубесконечной среды. Выбираем не менее двух углов падения φ_0 , которые доступны для установки на магнитоэллипсометре и не попадают на значения угла Брюстера в нужном спектральном диапазоне.

2) На одном из выбранных углов φ_0 измеряем полевые зависимости ψ_0, Δ_0 при фиксированной длине волны, соответствующей максимальной величине сигнала/шум магнитоэллипсометра.

3) По полевой зависимости ψ_0, Δ_0 выбираем оптимальные значения магнитного поля $\pm H$ для дальнейших спектральных магнитоэллипсометрических

измерений, т. е. если образец ферромагнитен, то величину H целесообразно выбрать из условия ферромагнитного насыщения образца.

4) Для заданного угла φ_0 измеряем спектральные зависимости ψ_0, Δ_0 размагниченного образца и изменения $\delta\psi, \delta\Delta$ при перемагничивании образца в полях $\pm H$;

5) Задаем второй выбранный угол падения φ_0 и измеряем спектральные зависимости ψ_0, Δ_0 размагниченного образца;

6) Для размагниченного состояния образца численными методами получаем комплексные величины N_x и $N_z = N_y$, из которых по (37) вычисляется Q .

Получив значения магнитооптического параметра Q и коэффициентов преломления N_x, N_y, N_z , можно рассчитать все компоненты тензора диэлектрической проницаемости (6).

5. ВЫВОДЫ

Таким образом, получены выражения для коэффициентов отражения для p - и s -поляризации для границы раздела внешней среды и образца с оптической одноосной анизотропией, учитывающие магнитооптический отклик при геометрии экваториального магнитооптического эффекта Керра. Аналитически рассчитан магнитооптический параметр Q для выбранной геометрии эксперимента. Показана схема проведения магнитоэллипсометрических измерений для получения всех компонент тензора диэлектрической проницаемости одноосного анизотропного материала, например, MAX-фаз.

Финансирование. Исследование выполнено при поддержке Российского научного фонда (грант № 21-12-00226, <http://rscf.ru/project/21-12-00226/>).

ПРИЛОЖЕНИЕ А

Ниже представлен вывод коэффициентов отражения на границе раздела внешней среды и объемной среды с одноосной оптической анизотропией и тензором диэлектрической проницаемости:

$$\varepsilon = \begin{bmatrix} \varepsilon_{xx} & -i\varepsilon_{zz}Q & 0 \\ i\varepsilon_{zz}Q & \varepsilon_{zz} & 0 \\ 0 & 0 & \varepsilon_{zz} \end{bmatrix}. \quad (\text{A.1})$$

Все выкладки ниже справедливы для видимого спектрального диапазона и проведены в предполо-

жении, что $\mu \approx \mu_0 \approx 1$, а магнитооптический параметр $Q \ll 1$ [12].

Ищем решение уравнений Maxwella

$$\begin{aligned} D_x &= \varepsilon_{xx}E_x - i\varepsilon_{zz}QE_y, \\ D_y &= i\varepsilon_{zz}QE_x + \varepsilon_{zz}E_y, \\ D_z &= \varepsilon_{zz}E_z. \end{aligned} \quad (\text{A.2})$$

в виде плоской неоднородной волны, распространяющейся в магнитной среде:

$$E = E_0 \exp \left(i\omega \left(t - \frac{\alpha^* x + \beta^* y + \gamma^* z}{v^*} \right) \right), \quad (\text{A.3})$$

где α^* , β^* , γ^* — направляющие косинусы, v^* — скорость распространения волны в среде. Тогда получим систему уравнений

$$\begin{aligned} \varepsilon_{xx}E_x - i\varepsilon_{zz}QE_y &= \\ = N_x^2[E_x - \alpha^*(\alpha^*E_x + \beta^*E_y + \gamma^*E_z)], \\ i\varepsilon_{zz}QE_x + \varepsilon_{zz}E_y &= \\ = N_y^2[E_y - \beta^*(\alpha^*E_x + \beta^*E_y + \gamma^*E_z)], \\ \varepsilon_{zz}E_z &= N_z^2[E_z - \gamma^*(\alpha^*E_x + \beta^*E_y + \gamma^*E_z)]. \end{aligned} \quad (\text{A.4})$$

Домножим строки системы (A.4) соответственно на $N_y^2N_z^2\alpha^*$, $N_z^2N_x^2\beta^*$, $N_x^2N_y^2\gamma^*$, просуммируем их и учтем, что $N_y = N_z$, $\varepsilon = N^2$, а направляющие косинусы $\alpha^* = \cos \varphi_{tp}$, $\beta^* = \sin \varphi_{tp}$, $\gamma^* = 0$. Тогда получим

$$\begin{aligned} (\varepsilon_{xx}E_x - i\varepsilon_{zz}QE_y) \cos(\varphi_{tp})\varepsilon_{zz} + \\ + (i\varepsilon_{zz}QE_x + \varepsilon_{zz}E_y) \sin(\varphi_{tp})\varepsilon_{xx} = 0, \end{aligned} \quad (\text{A.5})$$

$$\begin{aligned} (\varepsilon_{xx}\varepsilon_{zz} \cos(\varphi_{tp}) + i\varepsilon_{xx}\varepsilon_{zz}Q \sin(\varphi_{tp}))E_x + \\ + (\varepsilon_{xx}\varepsilon_{zz} \sin(\varphi_{tp}) - i\varepsilon_{zz}^2Q \cos(\varphi_{tp}))E_y = 0. \end{aligned} \quad (\text{A.6})$$

С учетом выбранной системы координат (см. рисунок) получаем граничные условия для s -поляризации:

$$E_{0is} + E_{0rs} = E_{d3} = E_{ts}, \quad (\text{A.7})$$

$$N_0 \cos(\varphi_0)(E_{0is} - E_{0rs}) = N_z \cos(\varphi_{ts})E_{ts}, \quad (\text{A.8})$$

для p -поляризации:

$$\cos(\varphi_0)(E_{0ip} - E_{0rp}) = E_{d2}, \quad (\text{A.9})$$

$$\begin{aligned} N_0(E_{0ip} + E_{0rp}) &= \\ &= N_y(\cos(\varphi_{tp})E_{d2} - \sin(\varphi_{tp})E_{d1}), \end{aligned} \quad (\text{A.10})$$

где нижний индекс i при E соответствует падающей волне, r — отраженной, d — прошедшей в среду, E_{d1} , E_{d2} , E_{d3} — это соответственно x -, y - и z -компоненты амплитуды напряженности электрического поля прошедшей волны [12, 29].

Для s -поляризации коэффициент отражения при реализации экваториальной конфигурации МО-эффекта Керра (TMOKE) имеет вид

$$r_{ss \text{ TMOKE}} = \frac{N_0 \cos(\varphi_0) - N_z \cos(\varphi_{ts})}{N_0 \cos(\varphi_0) + N_z \cos(\varphi_{ts})}, \quad (\text{A.11})$$

Коэффициент отражения для p -поляризации при TMOKE получаем из (A.9), (A.10), к которым необходимо добавить еще условие связи между E_{d1} и E_{d2} . Искомое соотношение можно получить из (A.6):

$$E_{d2} = \frac{(\varepsilon_{xx} \cos(\varphi_{tp}) + i\varepsilon_{xx}Q \sin(\varphi_{tp}))E_{d1}}{i\varepsilon_{zz}Q \cos(\varphi_{tp}) - \varepsilon_{xx} \sin(\varphi_{tp})}, \quad (\text{A.12})$$

Соответственно, решаем систему трех уравнений:

$$\begin{aligned} E_{d2} &= \frac{(\varepsilon_{xx} \cos(\varphi_{tp}) + i\varepsilon_{xx}Q \sin(\varphi_{tp}))E_{d1}}{i\varepsilon_{zz}Q \cos(\varphi_{tp}) - \varepsilon_{xx} \sin(\varphi_{tp})}, \\ \cos(\varphi_0)(E_{0ip} - E_{0rp}) &= E_{d2}, \\ N_0(E_{0ip} + E_{0rp}) &= N_y(\cos(\varphi_{tp})E_{d2} - \sin(\varphi_{tp})E_{d1}). \end{aligned} \quad (\text{A.13})$$

Выразим E_{d1} из первого уравнения системы (A.13) и подставим в третье:

$$N_0E_{0ip} + N_0E_{0rp} = N_yE_{d2} \left(\cos(\varphi_{tp}) - \sin(\varphi_{tp}) \frac{i\varepsilon_{zz}Q \cos(\varphi_{tp}) - \varepsilon_{xx} \sin(\varphi_{tp})}{\varepsilon_{xx} \cos(\varphi_{tp}) + i\varepsilon_{xx}Q \sin(\varphi_{tp})} \right). \quad (\text{A.14})$$

Отсюда получаем выражение для E_{d2} :

$$E_{d2} = \frac{(N_0E_{0ip} + N_0E_{0rp})(\varepsilon_{xx} \cos(\varphi_{tp}) + i\varepsilon_{xx}Q \sin(\varphi_{tp}))}{N_y\varepsilon_{xx} + iN_yQ \sin(\varphi_{tp}) \cos(\varphi_{tp})(\varepsilon_{xx} - \varepsilon_{zz})}. \quad (\text{A.15})$$

Теперь приравняем полученное выражение (A.15) к левой части второго уравнения в системе (A.13):

$$\cos(\varphi_0)(E_{0ip} - E_{0rp}) = \frac{(N_0 E_{0ip} + N_0 E_{0rp})(\varepsilon_{xx} \cos(\varphi_{tp}) + i\varepsilon_{xx} Q \sin(\varphi_{tp}))}{N_y \varepsilon_{xx} + iN_y Q \sin(\varphi_{tp}) \cos(\varphi_{tp})(\varepsilon_{xx} - \varepsilon_{zz})}. \quad (\text{A.16})$$

Поскольку нам необходимо получить выражение для коэффициента отражения $r_p = E_{0rp}/E_{0ip}$, удобно ввести обозначение

$$F = \frac{\varepsilon_{xx} \cos(\varphi_{tp}) + i\varepsilon_{xx} Q \sin(\varphi_{tp})}{N_y \varepsilon_{xx} + iN_y Q \sin(\varphi_{tp}) \cos(\varphi_{tp})(\varepsilon_{xx} - \varepsilon_{zz})}. \quad (\text{A.17})$$

Учтем, что $N_y = N_z$, поделим числитель и знаменатель F на ε_{xx} :

$$F = \frac{\cos(\varphi_{tp}) + iQ \sin(\varphi_{tp})}{N_z(1 + i(1 - \varepsilon_{zz}/\varepsilon_{xx})Q \sin(\varphi_{tp}) \cos(\varphi_{tp}))}. \quad (\text{A.18})$$

Выражение (A.16) примет вид

$$\begin{aligned} E_{0ip} \cos(\varphi_0) - E_{0rp} \cos(\varphi_0) &= \\ &= FN_0 E_{0ip} + FN_0 E_{0rp}, \end{aligned} \quad (\text{A.19})$$

$$E_{0ip}(\cos(\varphi_0) - FN_0) = E_{0rp}(\cos(\varphi_0) + FN_0). \quad (\text{A.20})$$

Таким образом, коэффициент отражения для p -поляризации равен

$$r_{pp \text{ TMOKE}} = \frac{E_{0rp}}{E_{0ip}} = \frac{\cos(\varphi_0) - FN_0}{\cos(\varphi_0) + FN_0}. \quad (\text{A.21})$$

Выделим в (A.21) два слагаемых, R_{p0} и R_{p1} , где немагнитное слагаемое R_{p0} определяется выражением (11), а R_{p1} отвечает за вклад ТМОКЕ:

$$\begin{aligned} r_{pp \text{ TMOKE}} &= \left(\cos(\varphi_0) - \frac{N_0}{N_z} \frac{\cos(\varphi_{tp}) + iQ \sin(\varphi_{tp})}{1 + i(1 - \varepsilon_{zz}/\varepsilon_{xx})Q \sin(\varphi_{tp}) \cos(\varphi_{tp})} \right) / \\ &\quad / \left(\cos(\varphi_0) + \frac{N_0}{N_z} \frac{\cos(\varphi_{tp}) + iQ \sin(\varphi_{tp})}{1 + i(1 - \varepsilon_{zz}/\varepsilon_{xx})Q \sin(\varphi_{tp}) \cos(\varphi_{tp})} \right). \end{aligned} \quad (\text{A.22})$$

$$\begin{aligned} r_{pp \text{ TMOKE}} &= \left[N_z \cos(\varphi_0) \left(1 + i \left(1 - \frac{\varepsilon_{zz}}{\varepsilon_{xx}} \right) Q \sin(\varphi_{tp}) \cos(\varphi_{tp}) \right) - N_0 \cos(\varphi_{tp}) - iN_0 Q \sin(\varphi_{tp}) \right] / \\ &\quad / \left[N_z \cos(\varphi_0) \left(1 + i \left(1 - \frac{\varepsilon_{zz}}{\varepsilon_{xx}} \right) Q \sin(\varphi_{tp}) \cos(\varphi_{tp}) \right) + N_0 \cos(\varphi_{tp}) + iN_0 Q \sin(\varphi_{tp}) \right], \end{aligned} \quad (\text{A.23})$$

$$\begin{aligned} r_{pp \text{ TMOKE}} &= \left[N_z \cos(\varphi_0) - N_0 \cos(\varphi_{tp}) + i \left(1 - \frac{\varepsilon_{zz}}{\varepsilon_{xx}} \right) Q \sin(\varphi_{tp}) \cos(\varphi_{tp}) N_z \cos(\varphi_0) - iN_0 Q \sin(\varphi_{tp}) \right] / \\ &\quad / \left[N_z \cos(\varphi_0) + N_0 \cos(\varphi_{tp}) + i(1 - \varepsilon_{zz}/\varepsilon_{xx}) Q \sin(\varphi_{tp}) \cos(\varphi_{tp}) N_z \cos(\varphi_0) + iN_0 Q \sin(\varphi_{tp}) \right], \end{aligned} \quad (\text{A.24})$$

$$\begin{aligned} r_{pp \text{ TMOKE}} &= \left[(N_z \cos(\varphi_0) - N_0 \cos(\varphi_{tp})) - iQ \sin(\varphi_{tp})(N_0 - \left(1 - \frac{\varepsilon_{zz}}{\varepsilon_{xx}} \right) \cos(\varphi_{tp}) N_z \cos(\varphi_0)) \right] / \\ &\quad / \left[(N_z \cos(\varphi_0) + N_0 \cos(\varphi_{tp})) \left(1 + iQ \sin(\varphi_{tp}) \frac{(1 - \varepsilon_{zz}/\varepsilon_{xx}) \cos(\varphi_{tp}) N_z \cos(\varphi_0) + N_0}{N_z \cos(\varphi_0) + N_0 \cos(\varphi_{tp})} \right) \right]. \end{aligned} \quad (\text{A.25})$$

Домножим числитель и знаменатель выражения (A.25) на комплексно-сопряженное второму множителю знаменателя, а именно на

$$\left(1 - iQ \sin(\varphi_{tp}) \frac{(1 - \varepsilon_{zz}/\varepsilon_{xx}) \cos(\varphi_{tp}) N_z \cos(\varphi_0) + N_0}{N_z \cos(\varphi_0) + N_0 \cos(\varphi_{tp})} \right),$$

после чего, поскольку магнитооптический параметр $Q \ll 1$, пренебрежем слагаемыми, пропорциональными Q^2 и более высоким степеням Q в виду малости:

$$r_{pp\ TMOKE} = \left[\frac{(N_z \cos(\varphi_0) - N_0 \cos(\varphi_{tp}))}{N_z \cos(\varphi_0) + N_0 \cos(\varphi_{tp})} - \frac{iQ \sin(\varphi_{tp}) (N_0 - (1 - \varepsilon_{zz}/\varepsilon_{xx}) \cos(\varphi_{tp}) N_z \cos(\varphi_0))}{N_z \cos(\varphi_0) + N_0 \cos(\varphi_{tp})} \right] \times \\ \times \left(1 - iQ \sin(\varphi_{tp}) \frac{(1 - \varepsilon_{zz}/\varepsilon_{xx}) \cos(\varphi_{tp}) N_z \cos(\varphi_0) + N_0}{N_z \cos(\varphi_0) + N_0 \cos(\varphi_{tp})} \right), \quad (\text{A.26})$$

$$r_{pp\ TMOKE} = \frac{N_z \cos(\varphi_0) - N_0 \cos(\varphi_{tp})}{N_z \cos(\varphi_0) + N_0 \cos(\varphi_{tp})} - \frac{iQ \sin(\varphi_{tp}) (N_0 - (1 - \varepsilon_{zz}/\varepsilon_{xx}) \cos(\varphi_{tp}) N_z \cos(\varphi_0))}{N_z \cos(\varphi_0) + N_0 \cos(\varphi_{tp})} - \\ - \frac{iQ \sin(\varphi_{tp}) (N_0 + (1 - \varepsilon_{zz}/\varepsilon_{xx}) \cos(\varphi_{tp}) N_z \cos(\varphi_0))}{(N_z \cos(\varphi_0) + N_0 \cos(\varphi_{tp}))^2} (N_z \cos(\varphi_0) - N_0 \cos(\varphi_{tp})), \quad (\text{A.27})$$

Таким образом, мы выделили уже первое слагаемое, которое, как и ожидалось, равно выражению (11). Преобразуем вид второго и третьего слагаемых:

$$r_{p\ TMOKE} = \frac{N_z \cos(\varphi_0) - N_0 \cos(\varphi_{tp})}{N_z \cos(\varphi_0) + N_0 \cos(\varphi_{tp})} - \frac{iQ \sin(\varphi_{tp})}{(N_z \cos(\varphi_0) + N_0 \cos(\varphi_{tp}))^2} \times \\ \times \left(\left(N_0 - \left(1 - \frac{\varepsilon_{zz}}{\varepsilon_{xx}} \right) \cos(\varphi_{tp}) N_z \cos(\varphi_0) \right) (N_z \cos(\varphi_0) + N_0 \cos(\varphi_{tp})) + (N_z \cos(\varphi_0) - N_0 \cos(\varphi_{tp})) \times \right. \\ \left. \times \left(N_0 + \left(1 - \frac{\varepsilon_{zz}}{\varepsilon_{xx}} \right) \cos(\varphi_{tp}) N_z \cos(\varphi_0) \right) \right). \quad (\text{A.28})$$

Рассмотрим отдельно выражение в скобке второго слагаемого, обозначим его буквой A

$$A = (N_0 - (1 - \varepsilon_{zz}/\varepsilon_{xx}) \cos(\varphi_{tp}) N_z \cos(\varphi_0)) (N_z \cos(\varphi_0) + N_0 \cos(\varphi_{tp})) + (N_z \cos(\varphi_0) - N_0 \cos(\varphi_{tp})) \times \\ \times (N_0 + (1 - \varepsilon_{zz}/\varepsilon_{xx}) \cos(\varphi_{tp}) N_z \cos(\varphi_0)). \quad (\text{A.29})$$

Раскроем скобки:

$$A = N_0 N_z \cos(\varphi_0) - N_z^2 (1 - \varepsilon_{zz}/\varepsilon_{xx}) \cos(\varphi_{tp}) \cos^2(\varphi_0) + N_0^2 \cos(\varphi_{tp}) - N_0 N_z (1 - \varepsilon_{zz}/\varepsilon_{xx}) \cos(\varphi_0) \cos^2(\varphi_{tp}) + \\ + N_0 N_z \cos(\varphi_0) + N_z^2 (1 - \varepsilon_{zz}/\varepsilon_{xx}) \cos(\varphi_{tp}) \cos^2(\varphi_0) - \\ - N_0^2 \cos(\varphi_{tp}) - N_0 N_z (1 - \varepsilon_{zz}/\varepsilon_{xx}) \cos(\varphi_0) \cos^2(\varphi_{tp}), \quad (\text{A.30})$$

$$A = 2N_0 N_z \cos(\varphi_0) (1 - (1 - \varepsilon_{zz}/\varepsilon_{xx}) \cos^2(\varphi_{tp})). \quad (\text{A.31})$$

В итоге выражение (A.28) принимает форму

$$r_{pp\ TMOKE} = \frac{N_z \cos(\varphi_0) - N_0 \cos(\varphi_{tp})}{N_z \cos(\varphi_0) + N_0 \cos(\varphi_{tp})} - iQ \frac{2N_0 N_z \sin(\varphi_{tp}) \cos(\varphi_0) (1 - (1 - \varepsilon_{zz}/\varepsilon_{xx}) \cos^2(\varphi_{tp}))}{(N_z \cos(\varphi_0) + N_0 \cos(\varphi_{tp}))^2}, \quad (\text{A.32})$$

где первое слагаемое это R_{p0} , а второе — R_{p1} .

Таким образом, получаем коэффициент отражения для p -поляризации с учетом МО-отклика при геометрии ТМОКЕ:

$$r_{pp\ TMOKE} = \frac{N_z \cos(\varphi_0) - N_0 \cos(\varphi_{tp})}{N_z \cos(\varphi_0) + N_0 \cos(\varphi_{tp})} - iQ \frac{2N_0 N_z \sin(\varphi_{tp}) \cos(\varphi_0) (1 - (1 - N_z^2/N_x^2) \cos^2(\varphi_{tp}))}{(N_z \cos(\varphi_0) + N_0 \cos(\varphi_{tp}))^2}. \quad (\text{A.33})$$

ПРИЛОЖЕНИЕ В

Ниже представлен вывод выражения для МО-параметра Q из системы уравнений (36). Из второго уравнения мы получаем

$$Q = \frac{(i\alpha R'_{p0} + \beta R''_{p0})(N_z \cos(\varphi_0) + N_0 \cos(\varphi_{tp}))^2}{2N_0 N_z \sin(\varphi_{tp}) \cos(\varphi_0) (1 - (1 - N_z^2/N_x^2) \cos^2(\varphi_{tp}))}. \quad (\text{B.1})$$

Распишем первый множитель в числителе (B.1) с учетом выражений для малых параметров α и β (31), (32):

$$\beta R''_{p0} + i\alpha R'_{p0} = \left(\frac{\delta\psi(1 + \operatorname{tg}^2(\psi_0))}{\operatorname{tg}(\psi_0)} - \frac{R'_{p0}}{R''_{p0}} \delta\Delta \right) R''_{p0} + i \left(\frac{\delta\psi(1 + \operatorname{tg}^2(\psi_0))}{\operatorname{tg}(\psi_0)} + \frac{R''_{p0}}{R'_{p0}} \delta\Delta \right) R'_{p0}. \quad (\text{B.2})$$

Раскроем скобки и приведем подобные:

$$\begin{aligned} \beta R''_{p0} + i\alpha R'_{p0} &= \frac{\delta\psi(1 + \operatorname{tg}^2(\psi_0))}{\operatorname{tg}(\psi_0)} R''_{p0} - R'_{p0} \delta\Delta + i \frac{\delta\psi(1 + \operatorname{tg}^2(\psi_0))}{\operatorname{tg}(\psi_0)} R'_{p0} + i R''_{p0} \delta\Delta = \\ &= \frac{\delta\psi(1 + \operatorname{tg}^2(\psi_0))}{\operatorname{tg}(\psi_0)} (R''_{p0} + i R'_{p0}) - \delta\Delta (R'_{p0} + i R''_{p0}) = R_{p0} \left(i \frac{\delta\psi(1 + \operatorname{tg}^2(\psi_0))}{\operatorname{tg}(\psi_0)} - \delta\Delta \right). \end{aligned} \quad (\text{B.3})$$

Тогда магнитооптический параметр приобретает вид

$$\begin{aligned} Q &= R_{p0} \left(i \frac{\delta\psi(1 + \operatorname{tg}^2(\psi_0))}{\operatorname{tg}(\psi_0)} - \delta\Delta \right) (N_z \cos(\varphi_0) + N_0 \cos(\varphi_{tp}))^2 / \\ &\quad / \left(2N_0 N_z \sin(\varphi_{tp}) \cos(\varphi_0) \left(1 - \left(1 - \frac{N_z^2}{N_x^2} \right) \cos^2(\varphi_{tp}) \right) \right). \end{aligned} \quad (\text{B.4})$$

Подставляем значение R_{p0} из (36)

$$\begin{aligned} Q &= \frac{N_z \cos(\varphi_0) - N_0 \cos(\varphi_{tp})}{N_z \cos(\varphi_0) + N_0 \cos(\varphi_{tp})} \left(i \frac{\delta\psi(1 + \operatorname{tg}^2(\psi_0))}{\operatorname{tg}(\psi_0)} - \delta\Delta \right) (N_z \cos(\varphi_0) + N_0 \cos(\varphi_{tp}))^2 / \\ &\quad / \left(2N_0 N_z \sin(\varphi_{tp}) \cos(\varphi_0) \left(1 - \left(1 - \frac{N_z^2}{N_x^2} \right) \cos^2(\varphi_{tp}) \right) \right) = \\ &= \frac{(N_z \cos(\varphi_0))^2 - (N_0 \cos(\varphi_{tp}))^2}{2N_0 N_z \sin(\varphi_{tp}) \cos(\varphi_0) (1 - (1 - N_z^2/N_x^2) \cos^2(\varphi_{tp}))} \left(i \frac{\delta\psi(1 + \operatorname{tg}^2(\psi_0))}{\operatorname{tg}(\psi_0)} - \delta\Delta \right). \end{aligned} \quad (\text{B.5})$$

Отсюда получаем выражение для расчета магнитооптического параметра для одноосного анизотропного объемного кристалла:

$$Q = \frac{N_0^2 \cos^2(\varphi_{tp}) - N_z^2 \cos^2(\varphi_0)}{2N_0 N_z \sin(\varphi_{tp}) \cos(\varphi_0) (1 - (1 - N_z^2/N_x^2) \cos^2(\varphi_{tp}))} \left(\delta\Delta - i \frac{\delta\psi(1 + \operatorname{tg}^2(\psi_0))}{\operatorname{tg}(\psi_0)} \right). \quad (\text{B.6})$$

ЛИТЕРАТУРА

-
- | | |
|---|---|
| <ol style="list-style-type: none"> 1. H. Schopper, Z. Physik 132, 146 (1952). 2. T. Yamaguchi, S. Yoshida, and A. Kinbara, J. Opt. Soc. Amer. 62, 634 (1972). 3. J. Gomis-Bresco, D. Artigas, and L. Torner, Nat. Photon. 11, 232 (2017). | <ol style="list-style-type: none"> 4. M. Losurdo, G. Bruno, and E. A. Irene, J. Appl. Phys. 94, 4923 (2003). 5. K. Bubke, H. Gnewuch, M. Hempstead et al., Appl. Phys. Lett. 71, 1906 (1997). 6. Y. Murakami, Sh. Chiashi, Y. Miyauchi et al., Chem. Phys. Lett. 385, 298 (2004). |
|---|---|

7. K. Chaudhuri, Z. Wang, M. Alhabeb et al., *2D Metal Carbides and Nitrides (MXenes)*, ed. by B. Anasori and Y. Gogotsi, Springer, Cham. (2019), p. 327.
8. K. Hantanasirisakul and Y. Gogotsi, *Adv. Mater.* **30**, 1804779 (2018).
9. Y. Mo, P. Rulis, and W. Y. Ching, *Phys. Rev. B* **86**, 165122 (2012).
10. X.H. Li, H.L. Cui, and R.Z. Zhang, *Front. Phys.* **13**, 136501 (2018).
11. A. Chowdhury, M. A. Ali, M. M. Hossain, M. M. Uddin, S. H. Naqib, and A. K. M. A. Islam, *Phys. Stat. Sol. B* **255**, 1700235 (2018).
12. А. В. Соколов, *Оптические свойства металлов*, ГИФМЛ, Москва (1961).
13. K. Mok, G. J. Kovács, J. McCord et al., *Phys. Rev. B* **84**, 094413 (2011).
14. K. Mok, C. Scarlat, G. J. Kovács et al., *J. Appl. Phys.* **110**, 123110 (2011).
15. D. Schmidt, C. Briley, E. Schubert et al., *Appl. Phys. Lett.* **102**, 123109 (2013).
16. P. Yeh, *Surface Science* **96**, 41 (1980).
17. O. A. Maximova, N. N. Kosyrev, S. N. Varnakov et al., *J. Magn. Magn. Mater.* **440**, 196 (2017).
18. O. A. Maximova, N. N. Kosyrev, S. N. Varnakov et al., *IOP Conference Series: Materials Science and Engineering* **155**, 012030 (2017).
19. O. A. Maximova, S. A. Lyaschenko, S. N. Varnakov et al., *Defect and Diffusion Forum* **386**, 131 (2018).
20. O. Maximova, S. Ovchinnikov, and S. Lyaschenko, *J. Phys. A: Math. Theor.* **54**, 295201 (2021).
21. О. А. Максимова, С. А. Лященко, М. А. Высотин и др., Письма в ЖЭТФ **110**, 155 (2019).
22. S. Lyaschenko, O. Maximova, D. Shevtsov et al., *J. Magn. Magn. Mater.* **528**, 167803 (2021).
23. Sh. Zhu, X. Tang, R. Wei et al., *J. Magn. Magn. Mater.* **484**, 95 (2019).
24. S. Y. Wu, H. X. Liu, Lin Gu et al., *Appl. Phys. Lett.* **82**, 3047 (2003).
25. T. C. Chuang, C. F. Pai, and S. Y. Huang, *Phys. Rev. Appl.* **11**, 061005 (2019).
26. Н. Б. Иванова, Н. В. Казак, Ю. В. Князев и др., ЖЭТФ **140**, 1160 (2011).
27. J. Bartolomé, A. Arauzo, N. V. Kazak et al., *Phys. Rev. B* **83**, 144426 (2011).
28. И. И. Назаренко, *Структура, магнитные свойства оксиборатов переходных металлов со структурой катоита и людвигита*, Дисс. ... канд. физ.-матем. наук, ФИЦ КНЦ СО РАН, Красноярск (2019).
29. Г. С. Кринчик, *Физика магнитных явлений*, Изд-во МГУ, Москва (1976).
30. А. Н. Калиш, *Магнитооптические эффекты в периодическихnanoструктурированных средах*, Дисс. канд. физ.-матем. наук, МГУ, Москва (2013).
31. T. Haider, *Int. J. Electromagn. Appl.* **7**, 17 (2017).
32. V. I. Belotelov and A. K. Zvezdin, *J. Opt. Soc. Amer. B* **22**, 286 (2005).
33. K. W. Wierman, J. N. Hiltiker, R. F. Sabiryanov et al., *Phys. Rev. B* **55**, 3093 (1997).
34. R. Rauer, G. Neuber, J. Kunze et al., *Rev. Sci. Instr.* **76**, 023910 (2005).
35. R. M. A. Azzam and N. M. Bashara, *Ellipsometry and Polarized Light*, North-Holland Pub. Co., Amsterdam (1977).
36. H. Fujiwara, *Spectroscopic Ellipsometry Principles and Applications*, John Wiley & Sons Ltd., Chichester (2007).
37. В. И. Белотелов, *Плазмонные гетероструктуры и фотонные кристаллы с перестраиваемыми оптическими свойствами*, Дисс. ... докт. физ.-матем. наук, МГУ, Москва (2012).
38. А. В. Малаховский, *Избранные вопросы оптики и магнитооптики соединений переходных элементов*, Наука, Сибирское отделение, Новосибирск (1992).
39. О. А. Максимова, *Оптические и магнитооптические свойства магнитных nanoструктур по данным in situ спектральной магнитооптической эллипсометрии*, Дисс. ... канд. физ.-матем. наук, ФИЦ КНЦ СО РАН, Красноярск (2020).
40. D. den Engelsen, *J. Opt. Soc. Amer.* **61**, 1460 (1971).
41. R. M. A. Azzam and N. M. Bashara, *J. Opt. Soc. Amer.* **64**, 128 (1974).
42. T. Wagner, J. N. Hiltiker, T. E. Tiwald et al., *Phys. Stat. Sol. A* **188**, 1553 (2001).